

FETM法の中間支持を有する構造物への適用について

愛媛大学工学部 正員 大賀 水田生
 徳山高専 正員 重松 恒美
 徳山高専 正員 原 隆

1. まえがき

著者らは通常の有限要素に用いられる剛性マトリックスより誘導される格間伝達マトリックスを用いる方法(FETM法)を板の座屈および曲げ問題に適用し、解の精度を落すことなく、有限要素法が必要なマトリックスサイズより非常に小さなマトリックスの演算により解析を行なえることを報告している。ところがFETM法は有限帶板法や伝達マトリックス法などに比較して構造物の形状とか境界条件にはそれほど制限されないが、単に格間伝達マトリックスの掛け合せのみでは中間支柱などを有する構造物を取り扱うことはできない。

そこで、本研究では本法を中間支柱を有する構造物に適用するための手法を提案し、二、三の数値計算を行い、得られた結果を有限要素法による結果と比較することにより、本法の中間支柱を有する構造物への適用の妥当性・有効性を検討する。

2. FETM法の概要

図-1(a)に示される板はm個のstripに分割され、さらにそれが各stripはn個の有限要素に分割される(図-1(b))。次に要素剛性マトリックスをそれぞれのstripに組み込んで得られるstrip剛性マトリックスを変換することにより、stripの左側節線上の節点変位と節点力と右側節線上のそれらと結びつける格間伝達マトリックス[T]が次のように得られる。

$$\begin{Bmatrix} \delta_r \\ F_r \end{Bmatrix} = \begin{Bmatrix} K_{rr}^{-1} K_{re} & K_{rr}^{-1} \\ K_{re} - K_{rm} K_{rr}^{-1} K_{re} & K_{rr} K_{rr}^{-1} \end{Bmatrix} \begin{Bmatrix} \delta_e \\ F_e \end{Bmatrix} \quad (1)$$

ここで、 $\{\delta\}_e$, $\{\delta\}_r$, $\{F\}_e$, $\{F\}_r$ はそれぞれstripの左側および右側節線上の節点変位と節点力、 $[K_{re}]$, $[K_{rr}]$, $[K_{rm}]$, $[K_{rr}]$ はstrip剛性マトリックス[K]のサブマトリックス。

3. 中間支柱の処理

図-2に示すように中間節線の節点iとmで剛性支柱を有する場合を考える。今、構造物の左端は単純支持されており、さらに要素として3節点自由度(w , θ_x , θ_y)を有する矩形要素を用いるものとすると、節点iの左側の状態量ベクトル $\{\bar{z}\}_i^0$ は初期状態量ベクトル $\{\bar{z}\}_i^0$ と次のように関係づけられている。

$$\{\bar{z}\}_i^0 = [T]^i \{\bar{z}\}_i^0 \quad (2)$$

$$\text{ここで, } \{\bar{z}\}_i^0 = \{w_i^0, \theta_x^0, \theta_y^0, Q_i^0, M_x^0, M_y^0\}^T, \{\bar{z}\}_i^0 = \{\theta_y, Q, M_x\}_i^T, [T]^i = [T_i, T_{i+1}, \dots, T_1]$$

式(2)に節点i, mでの拘束条件 $w_{im} = w_{im}^0 = 0$ を代入し、これらの拘束変位に対応するせん断力 Q_{im} , Q_{im}^0 を初期状態量ベクトル

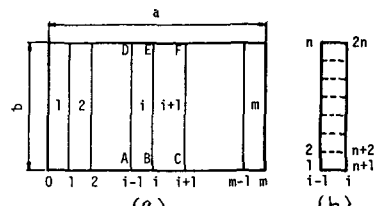


図-1 要素分割

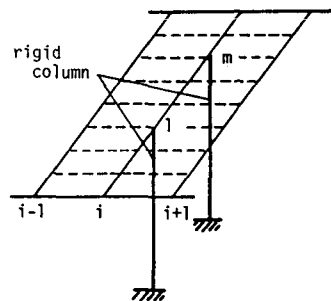


図-2 中間支柱

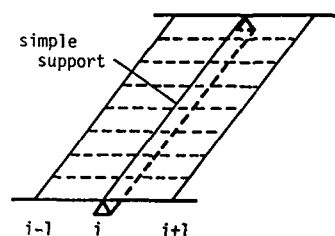


図-3 中間線支持

より消去し、代わりに節点 i 、 m での反力 V_{ie} 、 V_{im} を新しい未知量として導入すると節点 i の右側での状態量は次のように表わされる。

$$\{w^r, \theta_x^r, \theta_y^r, Q^r, M_x^r, M_y^r\}_i^T = [U]_i \{\theta_y, Q_y, M_x\}_o^T \quad (3)$$

$$\therefore \{Q^r\}_o = \{Q_{o1}, Q_{o2}, \dots, V_{ie}, \dots, V_{im}, \dots, Q_{on}\}^T$$

さらに、図-3 に示すように節点 i が線支持されてる場合も同様な操作により処理することが可能である。この場合、節線 i のすべての節点において、たわみ w_i たわみ角 θ_i が拘束されるので初期状態量ベクトルより、せん断力 Q_i およびモーメント M_{xi} が消去され、支点反力およびモーメントが新しく導入される。

4. 数値計算および検討

上述した方法を用いて図-4 に示すような 4 本の中間支柱を有する四辺単純支持板が等分布荷重を受ける場合の解析を行った。なお、解析モデルは対称性を考慮して $1/4$ 板とし、要素分割は 6×6 とした。この場合、第 3 節線に中間支柱が存在するので伝達式は三段階となる。

① 第 3 節線の左側までの伝達

$$\{Z\}_3^r = [T]_3 [T]_2 [T]_1 \{Z\}_0 = [U]_3 \{Z\}_0$$

② せん断力 Q_{34} の消去と未知反力 V_{34} の導入

$$\{Z\}_3^r = [U]_3 \{Z\}_0$$

③ 第 3 節線の右側より右端までの伝達

$$\{Z\}_6 = [T]_6 [T]_5 [T]_4 [U]_3 \{Z\}_0$$

また、本例での左右の境界条件は単純支持および対称であり、これらは状態量ベクトルに対してそれぞれ次のように表わされる。

単純支持: $\{Z\} = \{0, 0, \theta_y, Q, M_x, 0\}^T$

対称: $\{Z\} = \{w, \theta_x, 0, 0, 0, M_y\}^T$

図-5 に中心線と中間支柱に沿った線上でのたわみ曲線を示している。本法と同一分割数および同一要素を用いた有限要素法による結果を同時に示しているが両者は全く一致している。なお、本例でのマトリックスの大きさは FETM 法では 42×42 であり、有限要素法では 147×27 である。また、中間支柱を弾性支承と考えた場合、本法による結果も同時に示しているが、この場合の計算はパネに対する節点マトリックスを用いることにより行なわれる。

図-7 は図-6 に示す 2 スパン連続ばかりが部分荷重を受ける場合のたわみ曲線を示している。要素数は 4×10 であり、中間線支柱を有する第 5 節線で初期状態量の入れ換えを行っている。マトリックスの大きさは本法では 30×30 、有限要素法では 165×21 である。

- 参考文献 1) 見況他; FE-TM による板の座屈解析、第 15 回マトリックス解析法研究発表論文集、1981, 17
2) 大貫他; FE-TM による板の曲げ解析、土木学会中四国支部学術講演概要集、1982, 5

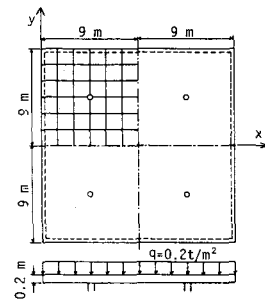


図-4 解析モデル

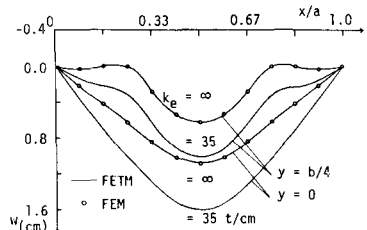


図-5 たわみ曲線

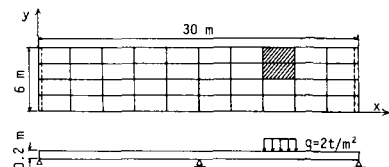


図-6 解析モデル

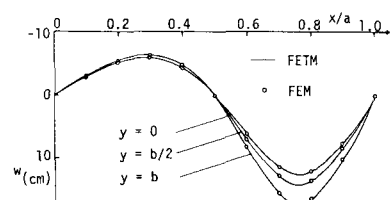


図-7 たわみ曲線